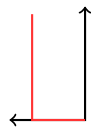

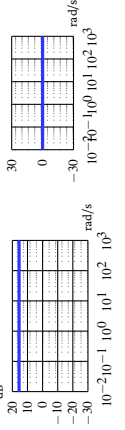
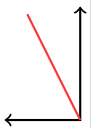
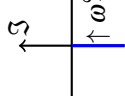
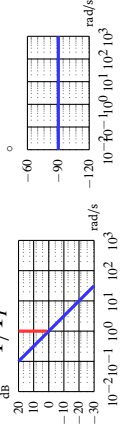
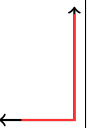
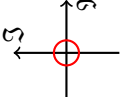
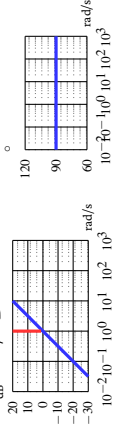
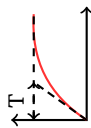
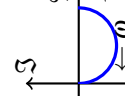
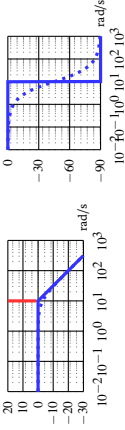
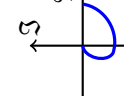
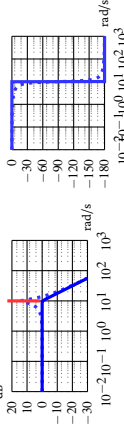

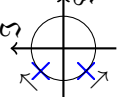
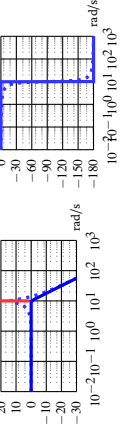
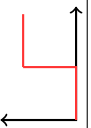
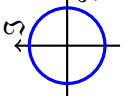
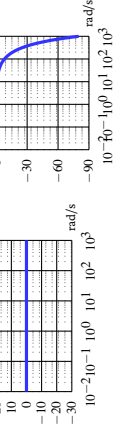

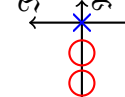
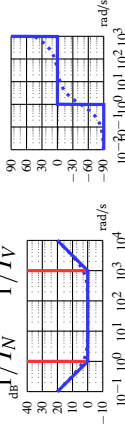


P		$y(t) = Ku(t), \quad A(\omega) = K$ $G = K, \quad \varphi(\omega) = 0$	 
I		$y(t) = \int_0^t u(t) dt, \quad A(\omega) = \frac{1}{T_I \omega}$ $G = \frac{1}{T_I s}, \quad \varphi(\omega) = -\frac{\pi}{2}$	 
D		$y(t) = u'(t), \quad A(\omega) = T_D \omega$ $G = sT_D, \quad \varphi(\omega) = \frac{\pi}{2}$	 
PT ₁		$Ty' + y = u(t), \quad A(\omega) = \frac{1}{\sqrt{1 + (T_I \omega)^2}}$ $G = \frac{1}{1 + T_I s}, \quad \varphi(\omega) = -\arctan(\omega T_I)$	 
		$\frac{y''}{\omega_0^2} + \frac{2Dy'}{\omega_0} + y = u(t)$ $G = \frac{1}{1 + \frac{2D}{\omega_0}s + \frac{1}{\omega_0^2}s^2}$ $A(\omega) = \frac{1}{\sqrt{(1 - (T_1)^2)^2 + (2DT_2)^2}}$ $\varphi(\omega) = -\arctan\left(\frac{2D\frac{\omega}{\omega_0}}{1 - (\frac{\omega}{\omega_0})^2}\right)$	 
PT ₂			 
PT _T		$y(t) = u(t - T_t), \quad A(\omega) = 1$ $G = e^{-sT_t}, \quad \varphi(\omega) = -\omega \cdot T_t$	 
PID		$y = u(t) + T_V u'(t) + \frac{1}{T_N} \int_0^t u(t) dt$ $G = \left(1 + \frac{1}{T_N s} + T_V s\right) u(t) dt$ $A(\omega) = \frac{1}{\omega T_N} \sqrt{\left(1 + (\omega \cdot T_N)^2\right)^2 \left(1 + (\omega \cdot T_V)^2\right)}$ $\varphi(\omega) = -\arctan\left(\frac{1 - \omega^2 \cdot T_N \cdot T_V}{\omega(T_N + T_V)}\right)$	 

Linearisieren

$$h(x) = h(x_0) + \frac{\partial h(x_0)}{\partial x}(x - x_0)$$

Ableitungssatz

$$\mathcal{L}\{y(t)\} = Y(s)$$

$$\mathcal{L}\{y'(t)\} = s \cdot Y(s) - y(0)$$

$$\mathcal{L}\{y''(t)\} = s^2 \cdot Y(s) - sy(0) - y'(0)$$

Partialbruchzerlegung

$$(s+1) \rightarrow \frac{A}{s+1} + \frac{B}{(s+1)^2} + \frac{As+B}{s^2+1}$$

System-/Sprungantwort

$$Y(s) = G(s) \cdot U(s)$$

$$\mathcal{L}^{-1}(Y(s)) = \mathcal{L}^{-1}(G(s)U(s))$$

$$\text{mit } U(s) = \frac{1}{s} F_{\text{ext}} \leftarrow \text{Einheitssprung} \left(\frac{1}{s} \text{ ausklammerbar}\right)$$

Frequenzgang

$$G(s) = G(i\omega) = |G(i\omega)| \cdot e^{i\varphi(i\omega)}$$

$$|G(i\omega)| = \sqrt{\Re^2 + \Im^2} = A(\omega)$$

$$|G(i\omega_d)| = 1 \leftarrow \text{Durchtrittsfrequenz}$$

$$A_{dB}(\omega) = 20\log_{10}A(\omega)$$

$$\varphi(\omega) = \arctan \frac{\Im}{\Re}$$

$$A_R = \frac{1}{|G_0(i\omega_\pi)|}$$

$$\varphi_0(i\omega_d) = \alpha_R - \pi$$

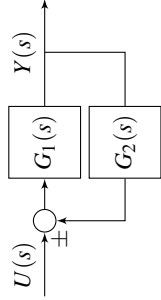
$$\varphi_0(\omega_\pi) = -\pi$$

$$\alpha_R = \varphi_0(\omega_d) + \pi$$

Führungs- Störungsübertragungsfunktion Z=0 / W=0

$$G_W = \frac{Y(s)}{W(s)} = \frac{G_S G_R}{(1 + G_S G_R)}$$

$$G_Z = \frac{Y(s)}{Z(s)} = \frac{G_S G_Z}{(1 + G_S G_R)}$$



$$\tilde{G}(s) = \frac{G_1(s)}{(1 \mp G_2(s)G_2(s))}$$

Stabilitätsuntersuchung

Pole und Nullstellen

- Polstelle $p_i : G(s) \rightarrow \infty$
pq-Formel: $s^2 + \mathbf{p}s + \mathbf{q} = 0$
$$p_i = s_{1/2} = -\frac{\mathbf{p}}{2} \pm \sqrt{\left(\frac{\mathbf{p}}{2}\right)^2 - \mathbf{q}}$$

stabil: $\forall \Re(p_i) < 0$ oder: $\mathbf{p} > 0, \mathbf{q} > 0$
instabil: $\Re(p_i) > 0$
grenzstabil: $\Re(p_i) = 0$
- Nullstelle: $G(s) \rightarrow 0$

Hurwitz

- $\forall a \in [a_0, \dots, a_n], a_i < 0 \wedge a_i > 0$
- $D_1 = a_2 \stackrel{!}{>} 0$
 $D_2 = \det \begin{vmatrix} a_1 & a_3 \\ a_0 & a_2 \end{vmatrix} \stackrel{!}{>} 0$
 $D_2 = a_1 a_2 - a_3 a_0 \stackrel{!}{>} 0$
 $D_3 = \det \begin{vmatrix} a_1 & a_3 & 0 \\ a_0 & a_2 & 0 \\ 0 & a_1 & a_3 \end{vmatrix} \stackrel{!}{>} 0$
 $D_3 = a_1 a_2 a_3 - a_3 a_0 a_3 \stackrel{!}{>} 0$
 $D_3 = D_2 \cdot a_3$

Vereinfachtes Nyquist Kriterium

das Übertragungsfunktion

- Integrierendes Verhalten aufweist ($\frac{1}{s}$ ausklammerbar)
- Alle $P_n > 0$ sind,

falls alle < 0 sind mit -1 multiplizieren

$G_0(s) = G_S \cdot G_R \leftarrow$ Offene Kette
Geschlossene Kette stabil, wenn kritische Punkt $(-1,0)$ zur Linken der in Richtung zur Frequenz durchlaufenden Ortskurve des Frequenzgangs liegt.

$$m + p \stackrel{!}{=} 0$$

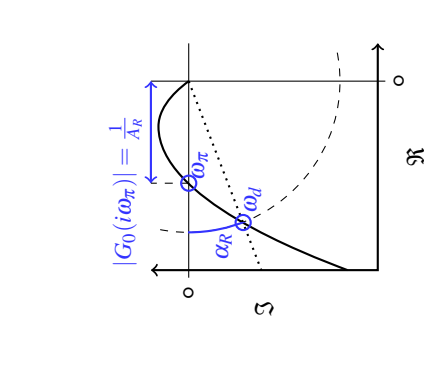
$$p = \text{Anzahl positiver Pole des}$$

Offenen Regelkreises

$$m = \text{Anzahl der Umläufe um } (-1,0)$$

+ im Uhrzeigersinn

- gegen Uhrzeigersinn



Störunterdrückung \sim

$$1,5 < A_R < 3,0 \text{ und } 20^\circ < \alpha_R < 70^\circ$$

Führungsverhalten \sim

$$4 < A_R < 10 \text{ und } 40^\circ < \alpha_R < 60^\circ$$

Trigonometrie

$$\sin^2 + \cos^2 = 1$$

$$\arctan(0) = 0$$

$$\arctan(\infty) = \frac{\pi}{2}$$

$$\arctan(-\infty) = -\frac{\pi}{2}$$

Regelverstärkung/Abweichung

$$\lim_{t \rightarrow \infty} y(t) = \lim_{s \rightarrow 0} (s \cdot Y(s)) \leftarrow \text{Grenzwertsatz}$$

$$\lim_{s \rightarrow 0} \left(s \cdot \frac{1}{s} G_W(s) \right) = 1 - \text{Verstärkung/Abweichung}$$

$$Z(s) = -\frac{1}{s} \lim_{s \rightarrow 0} \left(s \cdot \frac{1}{s} \cdot G_z(s) \right) = 1 - (1 - \text{Abweichung})$$

$$Z(s) \text{ bzw. } W(s) = \begin{cases} F_{\text{ext}} \leftarrow \text{Impuls} \\ \frac{1}{s} F_{\text{ext}} \leftarrow \text{Einheitssprung} \\ \frac{1}{s^2} F_{\text{ext}} \leftarrow \text{Rampe} \end{cases}$$

MIMO

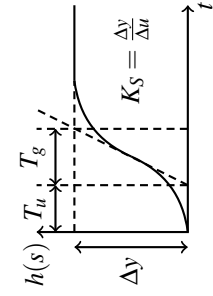
- falls $\Lambda = f(s)$, wähle stationären Zustand ($s = i, \omega = i0 = 0$)
$$\Lambda = \frac{1}{G_{11}G_{22} - G_{12}G_{21}} \begin{pmatrix} G_{11}G_{22} & -G_{12}G_{21} \\ -G_{12}G_{21} & G_{11}G_{22} \end{pmatrix}$$

(Zeilen/Spaltensummen $\stackrel{!}{=} 1$)

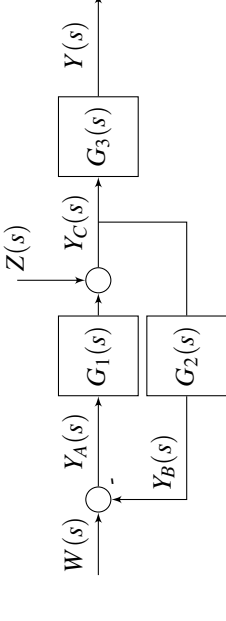
- Kopple die Stell- und Regelgrößen deren λ nahe zu 1.

$$3. \quad N = \frac{\det|G_s(s=0)|}{\prod_{i=1}^n G_{sii}(s=0)} \geq 0$$

Chien, Hrones, Reswick



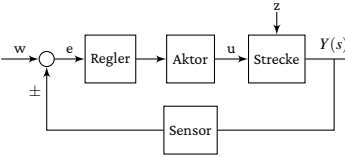
	Regler	Aperiodisch			Überschwingung		
		Störung	Führung	Störung	Führung		
P	K_R	$\frac{0.3}{K_S} \frac{T_g}{T_u}$	$\frac{0.3}{K_S} \frac{T_g}{T_u}$	$\frac{0.7}{K_S} \frac{T_g}{T_u}$	$\frac{0.7}{K_S} \frac{T_g}{T_u}$	$\frac{0.7}{K_S} \frac{T_g}{T_u}$	$\frac{0.7}{K_S} \frac{T_g}{T_u}$
PI	K_R	$\frac{0.6}{K_S} \frac{T_g}{T_u}$	$\frac{0.35}{K_S} \frac{T_g}{T_u}$	$\frac{0.7}{K_S} \frac{T_g}{T_u}$	$\frac{0.6}{K_S} \frac{T_g}{T_u}$	$\frac{0.6}{K_S} \frac{T_g}{T_u}$	$\frac{0.6}{K_S} \frac{T_g}{T_u}$
	T_n	$4T_u$	$1.2T_g$	$2.3T_u$	$2.3T_u$	$2.3T_u$	T_g
PID	K_R	$\frac{0.95}{K_S} \frac{T_g}{T_u}$	$\frac{0.6}{K_S} \frac{T_g}{T_u}$	$\frac{1.2}{K_S} \frac{T_g}{T_u}$	$\frac{0.95}{K_S} \frac{T_g}{T_u}$	$\frac{0.95}{K_S} \frac{T_g}{T_u}$	$\frac{0.95}{K_S} \frac{T_g}{T_u}$
	T_n	$2.4T_u$	T_g	$2T_g$	$1.35T_g$	$1.35T_g$	$1.35T_g$
	T_v	$0.42T_u$	$0.5T_u$	$0.42T_u$	$0.47T_u$	$0.47T_u$	$0.47T_u$



$$Y_A = W - Y_B, \quad Y_B = G_2 \cdot Y_C$$

$$Y_C = Y_A \cdot G_1 + Z, \quad Y = Y_C \cdot G_3$$

$$\Rightarrow Y = \frac{WG_3 + Z}{1 + G_2G_3}G_3$$



Sensor wandelt physikalische in elektrische Signale.

Aktor wandelt Elektrische in physikalische Signale.

Messgrößenumformung z.B. thermische → mechanische → elektrisch

Eingangsfroßen Wirkung der Umgebung auf das System, gezielt beeinflssbar, können zur Steuerung und Regelung verwendet werden.

Zustandsgrößen beschreiben einen solchen Zustand, in dem sich das Svsstem zu jedem Zeitpunkt befindet: interne Größen des Systems; können auch Ausgangsgrößen sein.

Ausgangsgrößen Wirkung des Prozesses auf die Umgebung

Regelgrößen sind geregelte Ausgänge

gemessene Ausgänge= primäre Messgrößen

SISO/MISO Singel-Input-Single-Output / Multiple-Input-Multiple-Output

Stellgrößen Eingangsgrößen, die zur Steuerung oder Regelung benutzt werden

konzentriert: Eine differentielle Größe bildet das System ab → ODE

verteilt Partielle Differentialgleichung nötig

implizit über differentiale von der Zeit ab (eg. Federschwinger)

explizit von der Zeit ab (eg. Federschwinger mit m = m(t))

zeitkontinuierlich h(t) ist für alle t definiert und > o (eg. Wassertank)

zeitdiskret h(t) ist nicht für alle t definiert (eg. Lagerbestand, jeder digitale Sensor)

stabil kehrt nach Störung in die Ruhelage zurück

instabil ruhelage wird nach Störung dauerhaft verlassen

linearität Verstärkungsprinzip und Superpositionsprinzip gelten

$$\varphi \cdot (\alpha + \beta) = \varphi \cdot \alpha + \varphi \cdot \beta$$

nichtlinearität z.B. Druck am Boden eine Wasserbehälters

Blockschaltbilder Zweck

1. Systemidentifikaton / Klassifikation (Blockschaltbilder, SISO → MIMO)
2. Mathematische Modellierung (Aufstellen von (DBLn, Linearisieren, Laplace-Transformation)
3. Modellanalyse (Reglertypen, Rechnen mit Blockschaltbildern, Stabilitätsanalyse)

statische Blöcke sind nicht abhängig von der Zeit → doppelt umrahmt

dynamische Blöcke sind Zeitlich abhängig (DGL) → einfach umrahmt

Superposition Lineare Abbildung $f(ax + y) = af(x) + f(y)$

Laplace Transformation

$$F(s) = L\{f(t)\} = \int_{-0}^{\infty} f(t) \cdot e^{-st} dt$$

Impulsfunktion

$$\delta(t)$$

$$\lim_{s \rightarrow 0} \begin{cases} 1/\varepsilon & \text{für } t \in [0, \varepsilon] \\ 0 & \text{sonst} \end{cases}$$

$$\text{mit } \int_{-\infty}^{\infty} \delta(\tau) d\tau = 1$$

Gewichtsfunktion Grenzwertverhalten gibt Information über die Stabilität.

$$g(t) = \frac{y(t)}{\int_{-\infty}^t u(\tau) d\tau}$$

Sprungfunktion

$$u(t) = u_0 H(t)$$

Sprungfunktion

$$s(t) = \int_{-\infty}^t \delta(\tau) d\tau$$

Übergangsfunktion

$$h(t) = \frac{y(t)}{u_0} = \frac{\text{Sprungantwort}}{\text{Sprunghöhe}} = \int_{-\infty}^t g(\tau) d\tau$$

Sprungantwort Reaktion des Systems auf die Sprungfunktion.

Impulsantwort Reaktion des Systems auf die Impulsfunktion.

Bode-Diagramm logarithmische Darstellung der Amplitude und Phasenverschiebung.

Reihenschaltung im Bode-Diagramm Multiplikation wird zur Addition durch logarithmische Scalierung

Frequenzgang Ein-/Ausgangsverhältnis von Amplitude und Phase $\frac{Y}{U} = G(i\omega)$

Ortskurve Darstellung von Phase und Frequenz als Verlauf des Vektors $\begin{pmatrix} \Re(G(i\omega)) \\ \Im(G(i\omega)) \end{pmatrix}$ bestimmbar durch Anregung und Messung von verschiedenen Frequenzen.

Amplituden-/Phasenreserve

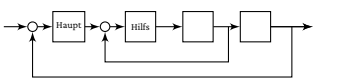
gibt mögliche Amplituden-/phasenerhöhung bis zur Instabilität an.

Übertragungs-/BIBO-stabil

beschränktes Eingangssignal → beschränktes Ausgangssignal

Kaskadenregelung Hauptregler legt Sollwert eines Hilfsreglers fest

Untergeordneter Hilfsregler verbirgt Störungen in dem Prozessteil, den er regelt, vor dem übergeordneten Regler
Zweck: oft zur Beschleunigung von Regelvorgängen



Vorregelung

Regelt wichtige Größe, bevor sie das eigentliche zu regelnde System erreicht, zur Minderung von Störungen. duh *Beispiel:* isothermer Reaktor zu Bakteriellen Abwasserreinigung

Störgrößenaufschaltung

Messen von Störgrößen bevor sie bei der Hauptregelung ankommen, benötigt hilfsregler und messbare Störgröße. Ermöglicht schnelleres eingreifen.

Override-Regelung Regelung kann zwischen verschiedenen Modi umgeschaltet werden

Auswahllogik Ein Regler wählt immer die relevanteste Größe von verschiedenen Sensoren aus
Verhältnisregelung Verhältnis von Messgrößen wird ausgewertet

Advanced Process Control (APC) In technischer Anwen-

dung müssen , Prozessregler während des Betriebs zur Verbesserung der Regelgüte angepasst werden (Control Performance Management)
Massnahmen: Integration von Überwachungsbausteinen in die jeweiligen Regelkreise (z.B. ConPerMon von Siemens), Automatische Protokollierung von Regelgüte und auftretenden Fehlern Verbess bedarf

Hintergrund: Durch große Anzahl an (PID-) Reglern innerhalb eines großtechnischen Prozesses ist eine manuelle Überwachung der Regelkreise und Veränderung der Parameter während des Betriebs oft nicht möglich. → **Process-Controll-Management**

Loopshaping Optimierung der offenen Kette meist durch "Spaping" von Frequenzgang/Ortskurve.

Nyquist Kriterium Die Ortskurve muss den Punkt -1 für den Durchlauf der Frequenzen von $-\infty \rightarrow \infty$ so oft umlaufen, wie der offene Kreis Pole in der Linken Halbebene besitzt.

Nyquist-Vorteil auf offene kette anwendbar

$$\text{Regelfaktor } R = \frac{\Delta_{w \rightarrow 0}}{\Delta_{w \rightarrow \infty}} = \frac{\text{bl. Regelabweichung mit Regler}}{\text{bl. Regelabweichung ohne Regler}}$$

betragslineare Regelfläche

$$I = \int_0^{\infty} |y(t) - w| dt$$

zeitbeschwerte

betragslineare Regelfläche

$$I = \int_0^{\infty} |y(t) - w| t dt \rightarrow \text{gewichtet später auftretende Abweichungen stärker.}$$

quadratische Regelfläche

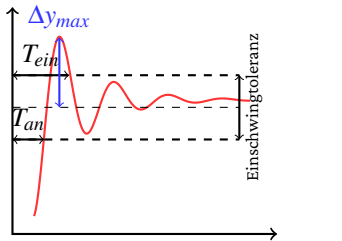
$$I = \int_0^{\infty} (y(t) - w)^2 dt \rightarrow \text{gewichtet größere abweichungen stärker.}$$

Totzeitglied Zeitliche Verzögerung ohne verstärkung z.B Rohr, Mechanische Laufzeiten

Systemidentifikation Bild-vs. Zeitbereich Zeitbereich ist einfacher aber Bildbereich ist genauer.

Festwertregelung w = const.

Folgeregelung w = w(t)



Fließbilder

TC = Temperaturregler

FC = Durchflussregler

CC = Konzentrationsregler

TI = Temperatursensor

LI = Höhenmesser

KI Mustererkennung, Analyse, Kommunikation

Fuzzy-Control Fuzzifizierung (Bewertungsfunktionn), Auswertung von Expertenregeln, Defuzzifizieren

Neural-Network Menschliches Denken nachbilden

Neuron Empfang und Ausgang von Signalen, nimmt Gewichtung vor